

## 2. Fluorofory v biomedicině

Fluorofory se dělí do dvou obecných tříd:

- **vnitřní (vlastní, intrinsic)** – vyskytují se přirozeně
- **vnější (nevlastní, extrinsic)** – jsou přidány ke vzorkům, které nemají vhodné fluorescenční vlastnosti

### 2.1. Vlastní fluorescence

Vlastní fluorescence buněk je dána především těmito složkami:

- **proteiny** – fluorescence v ultrafialové oblasti
- **redukováné formy nikotinamidadenindinukleotidu (NADH), nikotinamidadenindinukleotid fosfátu (NADPH), oxidované formy flavoproteinů, vitamin A** – fluorescence ve viditelné oblasti (modrá až žlutá)
- **cytochromy, peroxidáza, hemoglobin, myoglobin, chlorofyl** – fluorescence ve viditelné oblasti (červená)

#### Fluorescence proteinů

V proteinech jsou hlavními fluorofory aromatické aminokyseliny **tryptofan** (Try), **tyrozin** (Tyr) a **fenylalanin** (Phe). Jejich absorpční pás leží mezi 240 a 300 nm, emise je rovněž v ultrafialové oblasti (Tabulka 2.1). Dominantním fluoroforem je tryptofan, resp. jeho indolová skupina, neboť má mnohem širší emisní spektrum než tyrozin, jehož fluorescenci umožňuje jeho fenolový kruh. Fenylalanin se na celkové fluorescenci bílkovin prakticky nepodílí.

Fluorescence tryptofanu je velmi citlivá na vlastnosti jeho okolí a lze ji proto použít pro sledování konformačních změn proteinů (např. při vazbě ligandů nebo při interakcích protein-protein).

Tabulka 2.1 Fluorescenční parametry tryptofanu, tyrozinu a fenylalaninu

fluorofor	$\lambda_{\text{ex}}^{\text{max}}$ (nm)	$\lambda_{\text{em}}^{\text{max}}$ (nm)	kvantový výtěžek	doba života (ns)
<b>tryptofan</b>	295	353	0,13	3,1
<b>tyrozin</b>	275	304	0,14	3,6
<b>fenylalanin</b>	260	282	0,02	6,8

(Podle: Lakowicz 1999.)

Existuje několik tříd proteinů, které mají vlastní fluorescenci při delších vlnových délkách:

- **fykobiliproteiny** (z cyanobakterií a modro-zelených a červených řas), které absorbují od 470 do 650 nm (tj. v oblasti, kde neabsorbuje chlorofyl); jako fluorofory mají řadu výhod:
  - intenzivní dlouhovlnná excitace a emise (neinterferují s vlastní fluorescencí jiných biologických molekul)
  - relativně velký Stokesův posuv a vysoký kvantový výtěžek emise
  - fluorescence není zhasena vnějšími zhasedly
  - vysoká rozpustnost ve vodě
  - homogenní struktura s definovanou molekulovou hmotností

- vícero míst pro stabilní konjugaci s mnoha biologickými i syntetickými látkami
- **zelený fluorescentní protein** (green fluorescent protein, GFP) z bioluminiscentní medúzy
- **fytofluory** – fluorescenční sondy odvozené od fytochromů (proteinů citlivých na světlo, které jsou přítomny ve fotosyntetizujících organismech)

### Fluorescence enzymových kofaktorů

- **NADH** silně fluoreskuje ( $\lambda_{\text{ex}}^{\text{max}} \cong 340 \text{ nm}$ ,  $\lambda_{\text{em}}^{\text{max}} \cong 460 \text{ nm}$ ), zatímco jeho oxidovaná forma  $\text{NAD}^+$  nikoli; fluoreskující skupinou je redukovaný nikotinamidový kruh. Po vazbě NADH k proteinům se jeho fluorescence obvykle několikanásobně zvyšuje (ale může se i snížit), zřejmě v závislosti na omezení kontaktu fluoreskující nikotinamidové skupiny a adeninu, který fluorescenci částečně zhasí.
- **Pyridoxal fosfát** je rovněž fluorofor; jeho fluorescenční parametry závisí na jeho chemické struktuře v proteinu.
- **Flavin adenin dinukleotid (FAD), riboflavin a flavin mononukleotid (FMN)** absorbují kolem 450 nm a emitují kolem 525 nm. Fluorescence flavinu je zhasena adeninem. Fluorescenční vlastnosti mají oxidované formy flavinů, nikoli redukované, jako je tomu u NADPH.

## 2.2. Nevlastní fluorescence

Vnější, neboli nevlastní fluorofory se používají mnohem více než vnitřní. Přidávají se ke studovanému vzorku a pokud se na něj váží kovalentně, nazývají se **fluorescenční značky**, pokud se váží nekovalentně jedná se **fluorescenční sondy**.

Nevlastní fluorofory lze dělit do dvou skupin:

1. látky, jejichž kvantový výtěžek fluorescence se nemění po jejich zavedení do biologického systému - jedná se o fluorescenční barviva používaná v klasické fluorescenční cytochemii (např. fluorescein, akridinová oranž, eozin, ...)
2. látky, jejichž kvantový výtěžek fluorescence se silně mění při vazbě na buněčné struktury a závisí na bezprostředním okolí fluoroforu (např. 1-anilinonaftalén-8-sulfonát, 1,6-difenyl-1,3,5-hexatrien, ...)

Kromě požadavku na specifickou vazbu nevlastního fluoroforu k buněčným složkám a citlivosti emise fluoroforu na změny v okolí, je důležité, aby zavedením fluoroforu do bílkovin, nukleových kyselin, membrán apod. nedošlo k narušení funkce těchto biologických systémů.

### 2.2.1. Fluorescenční značky

**Fluorescenční značky** jsou nevlastní fluorofory, které se ke sledovaným biomolekulám (proteinům, peptidům, ligandům, oligonukleotidům a jiným) vážou kovalentní vazbou. Nejčastěji se používají k fluorescenčnímu značení proteinů, kdy se kovalentně vážou na jejich aminové, sulfhydrylové nebo histidinové boční řetězce, thiolové skupiny atd. Různé aplikace

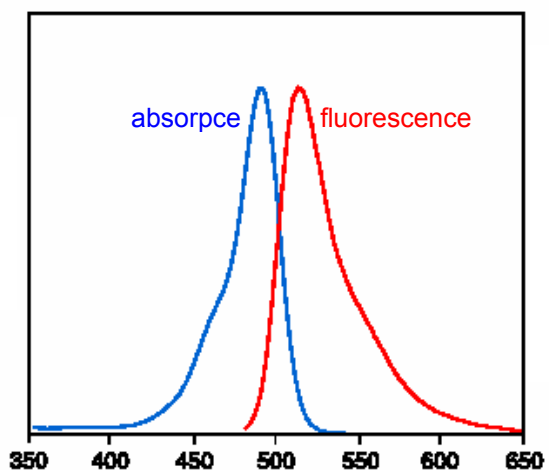
v imunologii, histochemii, afinitní chromatografii apod. využívají také vysokou afinitu a specificitu interakcí avidin-biotin a protilátka-hapten, kdy je studovaná molekula (protilátka, lektin, léčivo, polynukleotid, polysacharid, receptor) označena biotinem nebo haptenem a poté detekována fluorescenčně značenou protilátkou k biotinu nebo haptenu.

Mezi významné fluorescenční značky patří:

- fluorescein-5-izothiokyanát (FITC)
- dansyl chlorid (DNS-Cl; 5-dimethylaminonaftalén-1-sulfonyl chlorid)
- 5-jodoacetamidofluorescein (5-IAF)
- tetrametylrhodamin-5(a 6)-izothiokyanát (TRITC)
- 4-chloro-7-nitrobenz-2-oxa-1,3-diazol (NBD-Cl; 4-chloro-7-nitrobenzofurazan)
- 6-akryloyl-2-dimethylaminonaftalén (akrylodan)

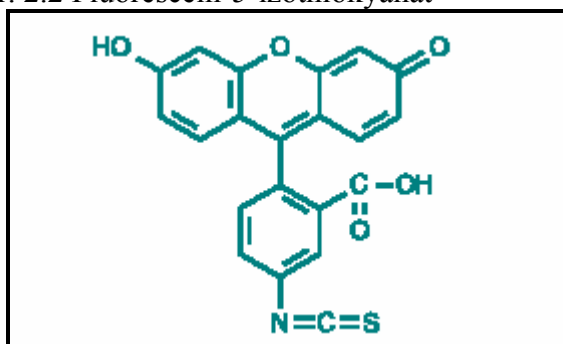
Nejnámějšími fluorescenčními značkami jsou **fluoresceinizothiokyanát (FITC)** a **tetrametylrhodaminizothiokyanát (TRITC)**, které se používají v imunofluorescenčních metodách. Jejich fluorescenční parametry jsou uvedeny v tabulce 2.2. **Eosin** (2',4',5',7'-tetrabromofluorescein) a **erytrosin** (2',4',5',7'-tetrarajodofluorescein) se obvykle používají jako fosforescenční sondy.

Obr. 2.1 Absorpční a fluorescenční spektrum fluoresceinu (pH 9,0)



(Podle: Handbook of Fluorescent Probes and Research Products.)

Obr. 2.2 Fluorescein-5-izothiokyanát



Další často používanou fluorescenční značkou je **dansyl chlorid (DNS-Cl)**, který stejně jako FITC reaguje s volnými aminoskupinami proteinů. Může být excitován při 350 nm (tj. mimo oblast vlastní absorpce proteinů) a emituje kolem 520 nm, přičemž jeho emisní spektrum je silně závislé na polaritě prostředí.

Nová skupina fluorescenčních značek, jejichž fluorofor obsahuje bór, je zavedena pod značkou **BODIPY**. Jejich výhodou je vysoký kvantový výtěžek fluorescence, možnost použít různé deriváty s emisí v širokém rozsahu 510-675 nm, vysoký extinkční koeficient, nezávislost na polaritě okolí a na pH. Jejich nevýhodou je malý Stokesův posuv. Používají pro značení proteinů, nukleotidů, oligonukleotidů a dextranů, enzymových substrátů, mastných kyselin, fosfolipidů, lipopolysacharidů, receptorových ligandů (viz kap. 3.10.1) a polystyrénových mikrokuliček.

**Akrylodan** je reaktivní forma prodanu (6-propionyl-2-dimethylaminonaftalenu), jehož fluorescenční vlastnosti jsou vysoce závislé na polaritě okolního prostředí (na rozdíl od FITC, TRITC, BODIPY).

Pro detekci a kvantifikaci nízkomolekulárních aminů (např. řady léčiv) lze použít značky, které fluoreskují poté, co vytvoří konjugát s amino skupinou. Např. **fluorescamin** nebo **NBD chlorid** reagují rychle s aminy a teprve poté fluoreskují.

Tabulka 2.2 Fluorescenční parametry vybraných fluorescenčních značek

fluorofor	$\lambda_{\text{ex}}^{\text{max}}$ (nm)	$\lambda_{\text{em}}^{\text{max}}$ (nm)	kvantový výtěžek	doba života (ns)
<b>FITC</b>	492	516-525	0,3-0,85	4,5
<b>TRITC</b>	535-545	570-580		2,0
<b>DNS-Cl</b>	340-350	510-560	0,1-0,3	10-15
<b>NBD</b>	470	550		
<b>Fluorecamin</b>	380	464		
<b>Lucifer Yellow</b>	430	540	0,2	3,3
<b>Eosin</b>	524	544		
<b>Erythrosin</b>	530	555		
<b>Alexa Fluor 350</b>	346	442		
<b>BODIPY FL</b>	505	513		
<b>BODIPY R6G</b>	528	550		
<b>BODIPY TMR</b>	542	574		
<b>BODIPY 576/589</b>	576	590		
<b>BODIPY TR</b>	589	617		

(Podle: 1. Lakowicz 1999; 2. Handbook of Fluorescent Probes and Research Products.)

Další možností je syntéza chemického analogu molekuly, který zachovává chemické vlastnosti původní molekuly, ale na rozdíl od ní vykazuje fluorescenci. Například adenosin trifosfát (ATP) nefluoreskuje, ale jeho analog **etheno-ATP** je fluorofor, i když některé vlastnosti ATP jsou narušeny. Také byly syntetizovány fluorescenční analogy bází DNA, adeninu (**2-aminopurin**) a guaninu (**izoxantopterin**). Pro studium interakcí steroidů s membránami mohou být využity fluorescenční analogy cholesterolu (**dehydroergosterol**) nebo estradiolu (**azatetrahydrochrysen**). Existují i sondy, které fluoreskují pouze ve viskózním prostředí (např. **9-(2-karboxy-2-cyanovinyl)julolidin, CCVJ**) a mohou být použity pro studium viskozity membrán a rigidity vazebných míst na proteinech.

## 2.2.2. Fluorescenční sondy

**Fluorescenční sondy** jsou nevlastní fluorofory, které se ke sledované struktuře vážou nekovalentně a často přitom mění své fluorescenční vlastnosti. Volba fluorescenční sondy je klíčovou součástí experimentu ve fluorescenční spektroskopii, neboť právě její vlastnosti umožňují získat potřebné informace. Jsou známy tisíce sond, jejichž relativně nejúplnější přehled lze nalézt na webových stránkách firmy [Molecular Probes](#), avšak podrobnější informace jsou dostupné jen v primární literatuře.

Iontové fluorofory, jejichž kvantový výtěžek fluorescence a někdy i spektrální vlastnosti se mění po navázání na bílkoviny, membrány nebo nukleové kyseliny se používají pro studium změn konformace bílkovin, tloušťky membrán, membránového potenciálu, viskozity prostředí apod. Vliv okolního prostředí na emisní vlastnosti takových fluoroforů je dán velkým zvýšením jejich dipólového momentu v excitovaném stavu; během doby života excitovaného stavu potom dochází k reorientaci obklopujících je molekul a tím k posuvu fluorescenčního spektra (viz Obr. 1.4).

### Fluorescenční sondy pro polaritu prostředí

Typickými sondami pro dynamickou polaritu jsou **1-anilinaftalén-8-sulfonát (ANS)** a **2-p-toluidinaftalén-6-sulfonát (TNS)**. Z tabulky 2.3, kde jsou uvedeny fluorescenční parametry ANS v různých rozpouštědlech vyplývá, že s rostoucí polaritou rozpouštědla se emisní maximum fluorescence ANS posouvá do červené oblasti a současně klesá kvantový výtěžek a doba dohasínání. Při vazbě ANS k apomyoglobinu se ANS váže do nepolárního vazebného místa pro hem a  $\lambda_{em}^{max}$  se posouvá na 454 nm a kvantový výtěžek fluorescence vzrůstá na 0,98. Tímto způsobem lze studovat strukturu a stupeň polárnosti různých vazebných míst na proteinech včetně případného vytěsňování fluorescenčních sond z této vazby nebo změny vyvolané např. aktivací enzymu apod. ANS bylo použito např. pro studium polaritu vazebného místa pro hem v apomyoglobinu a apohemoglobinu, nebo konformačních změn ve svalech a v nervových zakončeních během akčního potenciálu. TNS bylo využito např. pro studium konformačních změn po aktivaci chymotrypsinogenu a změn konformace nervové membrány. Demonstrační příklady vlivu polaritu rozpouštědla na fluorescenci sondy 2-p-toluidinaftalén-6-sulfonátu (TNS) a změna fluorescence ANS po vazbě k albuminu jsou uvedeny v kapitolách 3.1 a 3.2.

Tabulka 2.3 Parametry fluorescence sondy 1-anilinaftalén-8-sulfonátu (ANS) při různé polaritě rozpouštědla

rozpouštědlo	$\lambda_{em}^{max}$ (nm)	kvantový výtěžek	doba dohasínání (ns)
oktanol	464	0,646	12,3
propanol	466	0,476	10,2
metanol	476	0,216	6,05
voda	515	0,004	0,55

(Podle: Prosser a kol. 1989)

### Membránové fluorescenční sondy

Membrány obvykle nemají vlastní fluorescenci a jsou proto značeny sondami, které se vážou v oblasti jejich nepolárních uhlovodíkových řetězců (zbytků mastných kyselin). Pomocí řady

fluorescenčních sond jsou studovány především tyto vlastnosti biologických systémů související s buněčnými membránami:

- transport a metabolismus lipidů v živých buňkách
- recyklace synaptosomů
- přenos signálu zprostředkovaný lipidy
- membránový potenciál (viz kapitola 3.7)
- interakce léčiv s membránou (viz kapitola 3.10.2)
- transport membránou
- mikroviskozita membrán a teplotní fázové přechody (viz kapitola 3.3)

Membránové sondy lze rozdělit do dvou skupin:

1. fluorescenční analogy přirozených lipidů (fosfolipidy, sfingolipidy, mastné kyseliny, triglyceridy, steroidy)
2. malé amfifilní a lipofilní organické fluorofory

ad 1. Důležitou skupinu membránových sond tvoří **lipidové sondy**, jejichž hloubku zanoření do lipidových dvojvrstev lze měnit délkou různých řetězců připojených k fluoroforu (např. různé antroyl mastné kyseliny nebo BODIPY mastné kyseliny). Pyrén připojený k lipidům může být použit pro studium difúzních procesů v membránách na základě měření jeho excimerové fluorescence. Rovněž připojením fluoresceinu nebo rhodaminu k dlouhým acylovým řetězcům nebo k celým fosfolipidům lze získat vhodné membránové lipidové sondy. Lze shrnout, že:

- Fluoroforem značícím **mastné kyseliny** může být např. nitrobenzoxadiazol (NBD), BODIPY, pyrén nebo dansyl. Přirozeně se vyskytující polynenasycená mastná kyselina **cis-parinaric acid**, jejíž dvojně vazby jsou konjugované, je fluorofor (max. absorpce při 300 a 320 nm, Stokesův posuv kolem 100 nm) vhodný pro řadu měření (peroxidace lipoproteinů, hodnocení antioxidantů, interakce mastná kyselina-protein, fosfolipid-přenašeč, shlukování lipidů, ...).
- **Fosfolipidy** mohou být značeny řadou fluoroforů jak v oblasti polárních hlaviček (dansyl, NBD, BODIPY, fluorescein, tetrametylrhodamin, Oregon blue, Oregon green, Texas red a dalšími), tak zbytků mastných kyselin (DPH, NBD, pyrén, BODIPY). Rovněž byly připraveny fluorescenční analogy **sfingolipidů, steroidů, triglyceridů, lipopolysacharidů**.

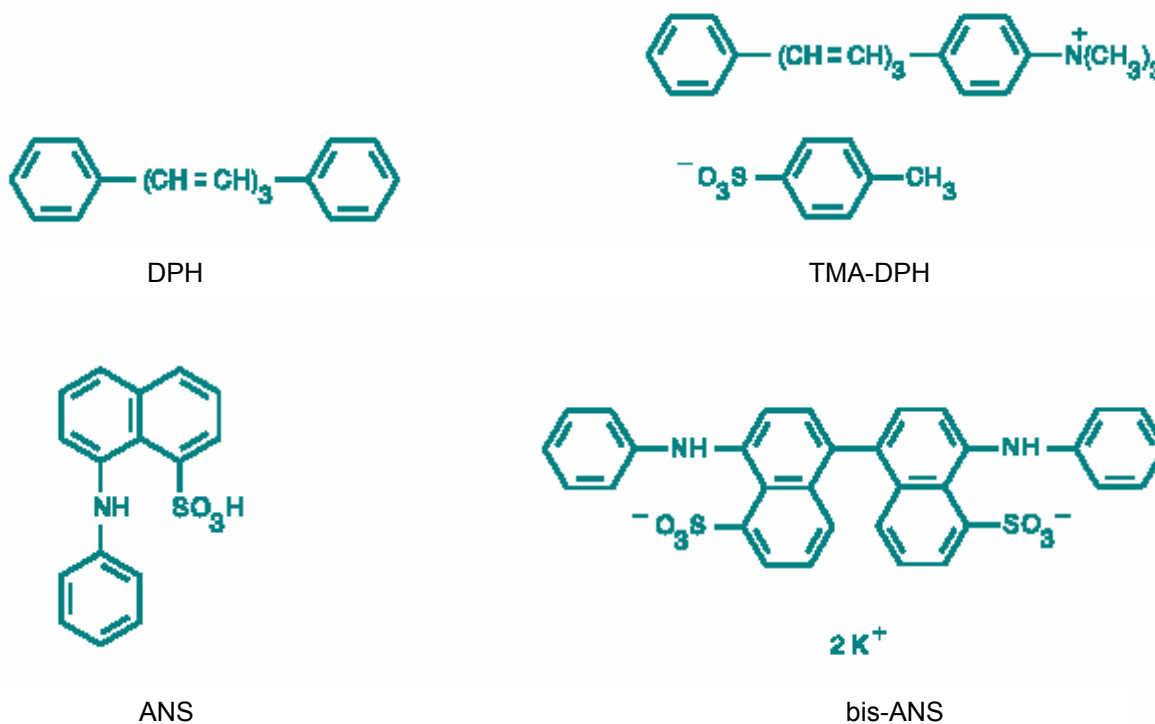
Tabulka 2.4 Vlastnosti některých lipidových sond

fluorofor	$\lambda_{\text{ex}}^{\text{max}}$ (nm)	$\lambda_{\text{em}}^{\text{max}}$ (nm)	vlastnosti
<b>Pyrén</b>	340	376	citlivost na zhášení kyslíkem; nefluoreskuje ve vodě; excimerová emise (470 nm) při vysokých koncentracích
<b>DPH</b>	360	430	nefluoreskuje ve vodě; samozhášení při vyšších koncentracích
<b>NBD</b>	470	530	nefluoreskuje ve vodě; samozhášení při vyšších koncentracích
<b>BODIPY FL</b>	507	513	fluoreskuje ve vodě i v membráně; excimerová emise (620 nm) při vysokých koncentracích

(Podle: Handbook of Fluorescent Probes and Research Products.)

ad 2. Malé amfifilní a lipofilní organické fluorofory podávají informaci o charakteristikách svého mikrookolí, jako je polarita, viskozita a uspořádání lipidů. Pro značení membrán se nejčastěji používá nepolární sonda **DPH** (1,6-difenyl-1,3,5-hexatrien), která je ve vodě prakticky nerozpustná, takže veškerá fluorescence pochází z nepolárního prostředí biologických membrán kam se nekovalentně váže. Příklad jejího použití je popsán např. v kap. 3.3. Připojením trimethylamoniové skupiny k molekule DPH byly získána fluorescenční sonda **TMA-DPH** (1-(4-trimethylamoniumfenylyl)-6-fenyl-1,3,5-hexatrien *p*-toluénsulfonát), která je v membránách lokalizována v blízkosti rozhraní membrána-voda. Mezi membránové fluorescenční sondy citlivé na prostředí patří např. **1,8-ANS** (1-anilinonaftalén-8-sulfonová kyselina), **bis-ANS** (4,4'-dianilino-1,1'-binaftyl-5,5'-disulfonová kyselina), **2,6-TNS** (2-(*p*-toluidinyl)naftalén-6-sulfonová kyselina), **prodan** (6-propionyl-2-dimethylaminonaftalén), **laurdan** (6-dodecanoyl-2-dimethylaminonaftalén) a další.

Obr. 2.3 Fluorescenční sondy difenylhexatrien (DPH) a jeho trimethylamoniový derivát (TMA-DPH); 1-anilinonaftalén-8-sulfonová kyselina (ANS) a 4,4'-dianilino-1,1'-binaftyl-5,5'-disulfonová kyselina, dvojdraselná sůl (bis-ANS)



Tabulka 2.5 Některé membránové fluorescenční sondy

fluorofor	$\lambda_{\text{ex}}^{\text{max}}$ (nm)	$\lambda_{\text{em}}^{\text{max}}$ (nm)	MW	rozpustné	rozpouštědlo
<b>DPH</b>	350	452	232,32	DMF, MeCN	MeOH
<b>TMA-DHP</b>	355	430	461,62	DMF, DMSO	MeOH
<b>ANS</b>	372	480	299,34	pH>6, DMF	MeOH
<b>bis-ANS</b>	395	500	672,85	pH>6	MeOH
<b>TNS</b>	318	443	335,35	DMF	MeOH
<b>Prodan</b>	361	498	227,31	DMF, MeCN	MeOH
<b>Laurdan</b>	364	497	353,55	DMF, MeCN	MeOH

DMF – dimethylformamid, MeCN – acetonitril, DMSO –dimetylsulfoxid, MeOH - metanol  
(Podle: Handbook of Fluorescent Probes and Research Products.)

### Sondy pro membránový potenciál

Významnou skupinu membránových sond tvoří sondy citlivé na membránový potenciál. Patří se např. merocyanin 540, karbocyaniny (např. 3,3'-dihexyloxakarbocyanin jodid, DiOC<sub>6</sub>(3), viz kap. 3.7) a styrylové sondy (kap. 2.3.7).

### Fluorescenční sondy pro nukleové kyseliny

Nukleotidy a nukleové kyseliny obecně nefluoreskují. Výjimkou je kvasinková tRNA<sup>PE</sup>, která obsahuje vysoce fluorescentní bázi známou jako Y<sub>T</sub>-báze ( $\lambda_{em}^{max} \cong 470$  nm). DNA je tedy jen slabě fluorescentní nebo nefluorescentní. Pro vizualizaci a identifikaci chromozomů se proto používá řada fluorescenčních sond jako jsou **akridinová oranž**, **ethidium bromid**, **propidium jodid**, **Hoechst 33342**, **4',6-diamidino-2-fenylindol dihydrochloride (DAPI)** a další. Kromě těchto klasických barviv se používají také **cyaninová barviva** pro stanovení nukleových kyselin v roztocích, gelech a blotech, procházející či neprocházející membránou živých buněk (Tabulka 2.6)

Tabulka 2.6 Některé fluorescenční sondy pro nukleové kyseliny

fluorofor	$\lambda_{ex}^{max}$ (nm)	$\lambda_{em}^{max}$ (nm)	použití
<b>Akridinová oranž (DNA)</b>	500	526	prostupuje; RNA/DNA; průtoková cytometrie
<b>Akridinová oranž (RNA)</b>	460	650	
<b>Ethidium bromid</b>	518	605	neprostupuje; vmezeřování do dsDNA; barvení mrtvých buněk; elektroforéza; průtoková cytometrie; ...
<b>Propidium jodid</b>	535	617	neprostupuje; barvení mrtvých buněk
<b>DAPI</b>	358	461	částečně prostupuje; buněčný cyklus; AT-selektivní; ...
<b>Hoechst 33342</b>	350	461	prostupuje; AT-selektivní; selektivní vazba k dsDNA; buněčný cyklus; ...
<b>PicoGreen</b>	502	523	ultracitlivá kvantifikace roztoků dsDNA
<b>OliGreen</b>	498	518	ultracitlivá kvantifikace roztoků ssDNA a oligonukleotidů
<b>RiboGreen</b>	500	520	ultracitlivá kvantifikace roztoků RNA
<b>TOTO-1</b>	514	533	neprostupuje membránu; vysoká afinita pro nukleové kyseliny
<b>SYTO 85 orange</b>	567	583	prostupuje membránu

(Podle: Handbook of Fluorescent Probes and Research Products.)

Po vazbě k dvouřetězcovým nukleovým kyselinám se silně zvyšuje např. kvantový výtěžek fluorescence sondy **2,7-diamino-10-etyl-9-fenylfenanthridium bromid (ethidium bromid, EB)** s  $\lambda_{em}^{max} = 605$  nm. Výraznou červenou fluorescenci této sondy vázané do buněčných jader lze velmi dobře pozorovat ve fluorescenčním mikroskopu i měřit na spektrofluorimetru (viz experiment popsáný v kapitole 3.5). Další často používanou sondou pro stanovení nukleových kyselin je **akridinová oranž**, která v monomerní formě fluoreskuje s  $\lambda_{em}^{max} =$





- **SNARF-5F** je indikátor pH (viz kap. 3.8)

Pro studium živých buněk jsou užitečné **acetoxymetylové (AM)** a **acetátové estery** fluorescenčních indikátorů, protože zatímco původní indikátor neprochází buněčnou membránou, jeho AM nebo acetátový ester tak snadno činí (nenabitá molekula). Uvnitř buňky vzniká působením nespecifických esteráz původní indikátor. Příkladem je fluorescein diacetát, Quin-2 AM, Fura-2 AM a další.

## 2.3. Příklady použití

Některé příklady použití fluorescenčních sond a značek byly uvedeny již v předchozí kapitole. V oblasti neurověd se nejčastěji jedná o využití fluorescenční spektroskopie při sledování změn nitrobuněčných iontů a pH, membránového potenciálu, polarity okolí, „fluidity“ membrán, přenosu energie mezi molekulami, sledování enzymových reakcí, analýze DNA a při použití imunochemických (značené protilátky) a radiochemických (scintilační roztoky) metod.

### 2.3.1. Testování životnosti buněk, jejich proliferace a funkcí

Testování životnosti buněk, jejich proliferace a funkcí (včetně apoptózy, adheze buněk, chemotaxe, multidrug rezistence, endocytózy, sekrece a přenosu signálu) lze provádět pomocí fluorescenčních testů, které jsou mnohem citlivější než testy kolorimetrické a bezpečnější a levnější než testy využívající radionuklidy.

Testování **životnosti** a **cytotoxicity** je založeno na měření podílu živých a mrtvých buněk v populaci. Jako sondy životnosti buněk slouží:

1. Fluorogenní substráty esteráz, které mohou pasivně pronikat do buněk a měří jednak zachování enzymatické aktivity buněčných esteráz, které je převádí na fluoreskující produkt, jednak membránovou integritu, která zajišťuje nitrobuněčnou retenci jejich fluoreskujících produktů. Obecně se postupuje tak, že acetátový nebo acetoxymetylový ester vhodného fluoroforu se rozpustí v DMSO (dimetylsulfoxid) v koncentraci 1-10 mmol/l a poté se přidá k buňkám v konečné koncentraci 1-25  $\mu\text{mol/l}$ . Jednou z prvních sond pro toto použití byl **fluorescein diacetát (FDA)**. Mezi nejlepší indikátory životnosti buněk patří **calcein AM** (díky vysokému zachytu v živých buňkách a silné fluorescenci). Dalšími vhodnými indikátory životnosti jsou např. **2',7'-bis-(2-karboxyetyl)-5-(a 6)- karboxyfluorescein, acetoxymetyl ester (BCECF, AM), karboxyeosin diacetát, karboxyfluorescein diacetát, ...**
2. Barviva pro nukleové kyseliny, která neprostupují membrány živých buněk (viz Tab. 2.6) a lze je proto použít pro detekci mrtvých buněk. Mezi takové indikátory patří např. **ethidium bromid, ethidium homodimer-1, propidium jodid, SYTOX Green, cyaninová barviva, jako TOTO**, a další. Používají se často v kombinaci s nitrobuněčnými substráty esteráz, membránově propustnými barvivy nukleových kyselin, sondami citlivými na membránový potenciál, sondami pro organely nebo indikátory propustnosti membrán.

- Sondy, které jsou aktivními buňkami oxidovány nebo redukovány a umožňují tak měřit redox potenciál buněk jako znak jejich životnosti; např. **resazurin**, **tetrazoliové soli**.
- Sondy citlivé na transmembránový potenciál, pH nebo  $\text{Ca}^{2+}$  (viz kap. 2.3.5-7).

Tabulka 2.7 Fluorescenční sondy pro měření životnosti buněk

fluorofor	MW	rozpustné	vlastnosti v buňkách	$\lambda_{\text{ex}}/\lambda_{\text{em}}$ (nm) (po reakci, pH 9)
<b>Fluorescein diacetát (FDA)</b>	416,39	DMSO	slabě udržován v buňkách; pH citlivá fluorescence; nenákladný	490/513
<b>Calcein AM</b>	994,87	DMSO	velmi dobře udržován; uvolňován při cytolýze; fluorescence závislá na pH	494/514
<b>BCECF AM</b>	~615	DMSO	velmi dobře udržován; uvolňován při cytolýze; fluorescence závislá na pH	501/527
<b>Karboxyfluorescein diacetát (CFDA)</b>	460,40	DMSO	středně dobře zadržován; fluorescence závislá na pH	492/518
<b>Karboxyfluorescein diacetát, acetoxymetyl ester (CFDA, AM)</b>	532,46	DMSO	snadněji se dostává do buněk než CFDA; středně dobře zadržován; fluorescence závislá na pH	492/518
<b>Chlorometyl SNARF-1, acetát</b>	499,95	DMSO	dobře zadržován reakcí s thioley; neúplně uvolňován při cytolýze; fluorescence dlouhověčná a závislá na pH	576/639

(Podle: Handbook of Fluorescent Probes and Research Products.)

Testování **proliferace** buněk je založeno na měření růstové rychlosti buněčné populace nebo na detekci dceřiných buněk v rostoucí populaci. Běžně neexistuje fluorofor, který by se specificky inkorporoval do buněk během dělení. Proliferační testy obvykle určují počet buněk z inkorporace [ $^3\text{H}$ ]-thymidinu nebo 5-bromo-2'-deoxyuridinu (BrdU, thymidinový analog). Fluorescenčně lze měřit např. změny v obsahu nukleových kyselin pomocí fluorescenčních sond (viz kap. 2.2.2) nebo pomocí fluorescenčně značených protilátek (např. anti-BrdU).

**Apoptóza** (programovaná buněčná smrt) je geneticky kontrolované odstraňování buněk během vývoje. Apoptóza je odlišná od nekrózy jak biochemickými, tak morfologickými změnami, které ji charakterizují. Fluorescenčně lze apoptózu testovat např.:

- s použitím sond pro nukleové kyseliny
- s použitím konjugátů annexinu V
- měřením aktivity specifických proteáz
- měřením změn mitochondrií, peroxidace lipidů, změn nitrobuněčného pH a iontů

### 2.3.2. Studium neurotransmiterových receptorů a iontových kanálů

Funkce neurotransmiterových receptorů a iontových kanálů je klíčová v transdukcii nervového signálu studovaného v neurovědách. Existuje řada fluorescenčně značených ligandů (agonistů i antagonistů) pro tyto receptory (Tabulka 2.8) a iontové kanály nebo iontové přenašeče (Tabulka 2.9). Fluoroforem jsou např. fluorescein, tetrametylrhodamin, Alexa Fluor 488, BODIPY FL, Oregon Green 514, Alexa Fluor 594 a Texas Red, které jsou obvykle fotostabilní a poskytují silnou fluorescenci (Tabulka 2.10). Fluorescenční metody lze při studiu membránových receptorů využít také pomocí imunohistochemických metod (značené protilátky) – viz. kap. 2.2.1.

Tabulka 2.8 Příklady receptorů, k nimž jsou dostupné fluorescenčně značené ligandy

typ receptoru	značený ligand	účinky na receptor
nikotinové acetylcholinové receptory	<b><math>\alpha</math>-bungarotoxin</b>	antagonista
muskarinové acetylcholinové receptory	<b>pirenzepin</b>	antagonista M <sub>1</sub>
$\alpha_1$ -adrenoceptory	<b>prazosin</b>	antagonista
$\beta$ -adrenoceptory	<b>CGP 12177</b>	agonista
GABA <sub>A</sub> receptory	<b>muscimol</b>	agonista
neurokininové receptory	<b>látka P, neuromedin C, angiotensin II</b>	agonisté
mí opioidní peptidové receptory	<b>naloxon, naltrexon</b>	antagonisté

Tabulka 2.9 Příklady iontových kanálů, k nimž jsou dostupné fluorescenčně značené ligandy

typ iontového kanálu	značený ligand	účinky na kanál
L-typ Ca <sup>2+</sup> kanálů	<b>dihydropyridiny, verapamil</b>	blokáda
Ca <sup>2+</sup> kanály necitlivé na IP <sub>3</sub>	<b>ryanodinové sondy</b>	aktivace (ryanodinového receptoru)
Ca <sup>2+</sup> kanály	<b>eosinové deriváty</b>	blokáda
napětově řízené Na <sup>+</sup> kanály	<b>tetrodotoxin</b>	blokáda
Na <sup>+</sup> /K <sup>+</sup> ATPáza	<b>ouabain, dogoxigenin</b>	blokáda
K <sup>+</sup> kanály	<b>glibenklamid</b>	blokáda
Cl <sup>-</sup> kanály otevírané glutamátem	<b>ivermecin</b>	zvýšená propustnost
transport anionů	<b>stilbene disulfonáty</b>	blokáda

Tabulka 2.10 Fluorofory vázané k ligandům pro receptory a iontové kanály

fluorofor	$\lambda_{\text{ex}}^{\text{max}}$ (nm)	$\lambda_{\text{em}}^{\text{max}}$ (nm)	poznámka
<b>Fluorescein</b>	494	518	
<b>Tetrametyrhodamin</b>	553	577	často používaný
<b>Alexa Fluor 488</b>	495	519	fotostabilní; intenzivní fluorescence
<b>Oregon Green 514</b>	512	530	velmi fotostabilní
<b>BODIPY FL</b>	507	513	
<b>Alexa Fluor 594</b>	590	617	vhodné pro kombinaci se zeleně fluoreskujícími značkami
<b>Texas Red</b>	593	613	vhodné pro kombinaci se zeleně fluoreskujícími značkami

(Podle: Handbook of Fluorescent Probes and Research Products.)

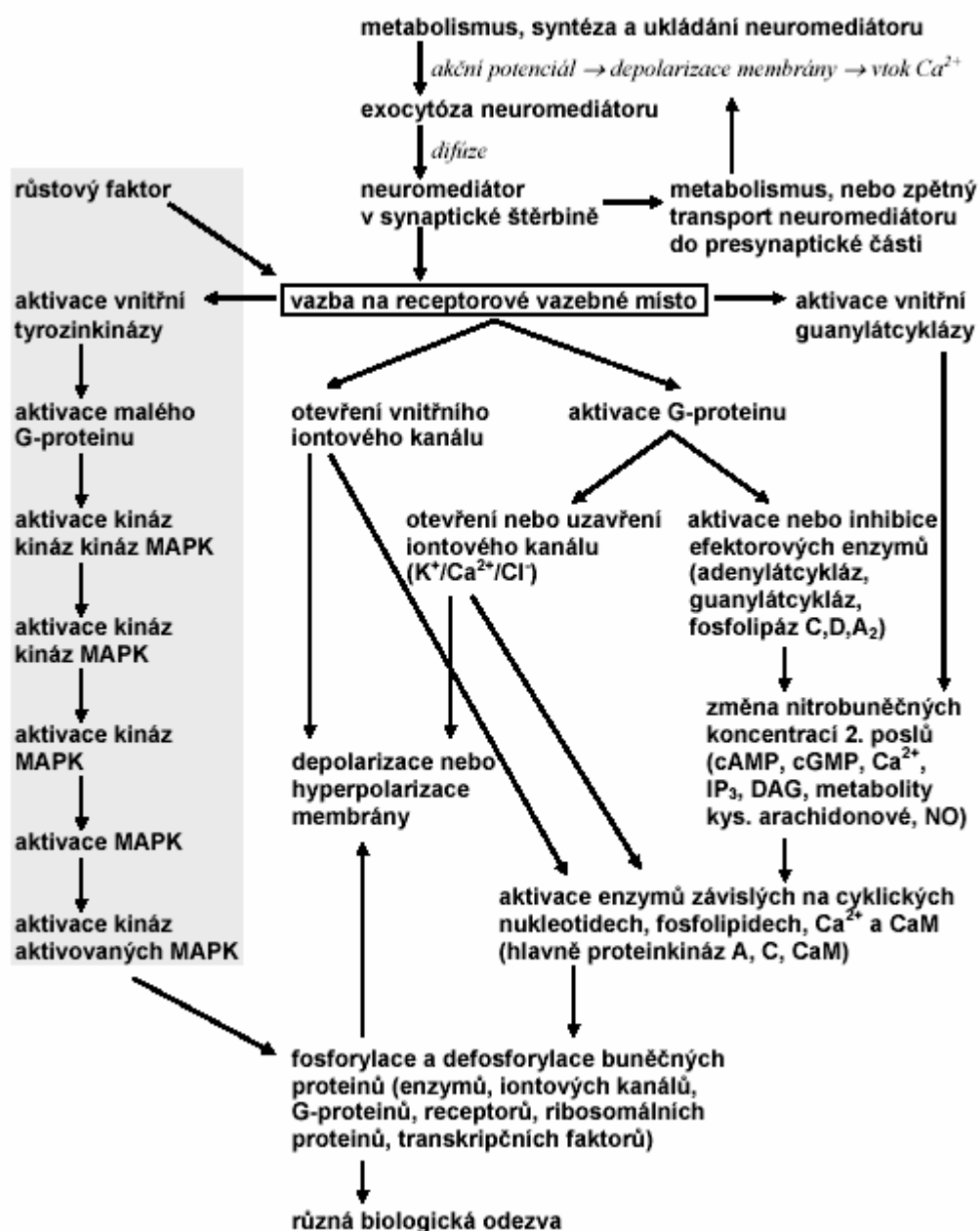
### 2.3.3. Transdukce signálu

Nitrobuněčným přenosem nervového signálu se rozumí všechny procesy v postsynaptické nebo presynaptické buňce následující po aktivaci membránového receptoru neuromediátorem nebo jiným agonistou. Kaskáda těchto procesů obvykle zahrnuje aktivaci G-proteinů, efektorových enzymů, proteinkináz a fosfatáz a je zakončena změnou membránového potenciálu cílové buňky nebo změnou funkce a aktivity určitých buněčných proteinů (Obr. 2.5).

Vzhledem ke složitosti procesů zapojených do transdukce signálu existuje mnoho možností jak je sledovat pomocí fluorescenčních sond a fluorescenčně značených látek. Pozornost je věnována především

- **regulaci koncentrací nitrobuněčného kalcia**
- **sledování aktivity a inhibice proteinkináz a fosfoproteinfosfatáz**
- **lipidovému metabolismu**

Obr. 2.5 Mezibuněčný a nitrobuněčný přenos signálu



MAPK – proteinkinázy aktivované mitogenem, cAMP – cyklický adenosinmonofosfát, cGMP – cyklický guanosinmonofosfát, IP<sub>3</sub> – inositol-1,4,5-trifosfát, DAG – diacylglycerol, CaM - kalmodulin

### 2.3.4. Reaktivní kyslík

Existuje řada fluorescenčních sond umožňujících detekovat nebo generovat různé druhy reaktivního kyslíku, včetně singletového kyslíku, superoxidu, hydroxy radikálů a peroxidů (Tabulka 2.11). Tyto formy reaktivního kyslíku jsou fyziologicky produkovány v procesech jako je Alzheimerova choroba, apoptóza nebo fagocytóza a oxidují různé buněčné složky, jako NADH, NADPH, histidin, kyselinu askorbovou, tryptofan, tyrozin, cystein, glutathion, proteiny a nukleové kyseliny, a rovněž cholesterol a nenasycené mastné kyseliny (peroxidace lipidů).

Tabulka 2.11 Druhy reaktivního kyslíku

druh reaktivního kyslíku	struktura	příklady detekčních látek
<b>Peroxid vodíku</b>	H <sub>2</sub> O <sub>2</sub>	Dihydroxycalcein AM, Dihydrorhodamin 6G, Luminol, Lucigenin
<b>Hydroxylový radikál</b>	HO·	Proxyl fluorescamin, TEMPO-9-AC, CM-H <sub>2</sub> DCFDA
<b>Kyselina chlorná</b>	HOCl	Dihydrorhodamin 123, Luminol
<b>Oxid dusnatý</b>	NO	DAF-FM, DAA, Luminol
<b>Peroxylový radikál</b>	HOO·	BODIPY FL EDA, Luminol, <i>cis</i> -Parinaric acid
<b>Peroxynitritový anion</b>	ONOO <sup>-</sup>	H <sub>2</sub> DCFDA, Coelenterazine, Dihydrorhodamin 123, Luminol
<b>Singletový kyslík</b>	<sup>1</sup> O <sub>2</sub>	<i>trans</i> -1-(2'-metoxyvinyl)pyrén
<b>Superoxidový anion</b>	·O <sub>2</sub> <sup>-</sup>	Coelenterazine, Dihydroethidium, Lucigenin, Luminol, TEMPO-9-AC

(Podle: Handbook of Fluorescent Probes and Research Products.)

### 2.3.5. Indikátory pro Ca<sup>2+</sup>, Mg<sup>2+</sup>, Zn<sup>2+</sup> a jiné kovové ionty

Fluorescenční měření změn nitrobuněčných iontů je možné díky sondám, které mění své spektrální vlastnosti po vazbě daného iontu. Nejčastěji se měří Ca<sup>2+</sup>, kterému je věnována řada knih. Indikátory jsou obvykle deriváty chelátorů Ca<sup>2+</sup>, Mg<sup>2+</sup>, Na<sup>+</sup> nebo K<sup>+</sup> jako je EGTA, APTRA a BAPTA, které mají vhodnou afinitu pro studovaný iont. Při výběru vhodného indikátoru bereme v úvahu:

- **formu indikátoru** (sůl, acetoxymetyl ester, dextranový konjugát), která ovlivňuje způsob, jakým se dostává do buňky (mikroinjekce, elektroporace, infúze z patch-pipety, pasivní difúze) a nitrobuněčnou distribuci
- **způsob měření** – některé indikátory vykazují po vazbě iontu spektrální posuv absorpce nebo emise (měří poměr intenzit při různých vlnových délkách excitace nebo emise), jiné změnu intenzity fluorescence
- **disociační konstantu** – musí být srovnatelná s měřenou koncentrací kationu (koncentrace menší než desetina nebo větší než desetinásobek disociační konstanty způsobují příliš malé změny v pozorovaném signálu)

Koncentrace sondy je v těchto měřeních mnohem menší, než koncentrace stanovované látky (analytu), neboť jinak by docházelo ke zkrácení koncentrací volného analytu. Pro sondy, které vykazují změnu intenzity fluorescence, ale nikoli spektrální posuv (jako je Calcium Green, Fluo-3, Rhod-2, Quin-2) je koncentrace analytu  $c_a$  dána vztahem:

$$(2.1) \quad c_a = K_d (I - I_{\min}) / (I_{\max} - I)$$

kde je  $K_d$  – disociační konstanta vazebného místa pro analyt na indikátoru,  $I_{\min}$  – intenzita fluorescence indikátoru, když není navázán žádný analyt,  $I_{\max}$  – intenzita fluorescence plně obsazeného indikátoru,  $I$  – intenzita fluorescence ve vzorku, kde je jen část vazebných míst indikátoru obsazena analytem. Změny v intenzitě fluorescence jsou typicky způsobeny změnou kvantového výtěžku fluorescence po navázání analytu, spíše než změnou v absorpci.

Měření  $I_{\max}$  a nitrobuňková kalibrace indikátorů se dělá pomocí ionoforů nebo uvolněním indikátoru do media o známé koncentraci analytu lýzou buněk.

Pro sondy, které vykazují spektrální posuv v absorpčním nebo emisním spektru po vazbě analytu se koncentrace analytu určuje z poměru intenzit nezávisle na celkové koncentraci sondy. Při měření poměru intenzit fluorescence při dvou různých excitačních vlnových délkách, je koncentrace analytu určována ze vztahu:

$$(2.2) \quad c_a = K_d (S_F(\lambda_2)/S_B(\lambda_2)) (R - R_{\min})/(R_{\max} - R)$$

kde  $R=I(\lambda_1)/I(\lambda_2)$  je poměr intenzit pro dvě excitační vlnové délky  $\lambda_1$  a  $\lambda_2$ ,  $R_{\min}$  a  $R_{\max}$  jsou poměry pro sondu volnou a plně obsazenou analytem,  $S_F(\lambda_2)/S_B(\lambda_2)=\varepsilon_F\Phi_F/\varepsilon_B\Phi_B$ ,  $\varepsilon$  - extinkční koeficienty,  $\Phi$  - kvantové výtěžky sondy excitované při  $\lambda_2$ .

Při měření poměru intenzit fluorescence při dvou různých emisních vlnových délkách lze použít rovnici analogickou rovnicí (2.2), přičemž  $S_F(\lambda_2)/S_B(\lambda_2)=I_F/I_B$  je poměr intenzit volné a vázané formy.

Vybrané fluorescenční indikátory pro  $\text{Ca}^{2+}$  jsou uvedeny v Tabulce 2.12. Fluorescenčním indikátorem pro  $\text{Mg}^{2+}$  je např. Mag-Fura-2 nebo Mag-Indo-2; pro zinek FuraZin-1, IndoZin-1, FluoZin-1, pro  $\text{Na}^+$  je to sodík vázající benzofuran izoftalát (SBFI) a sodík vázající benzofuran oxazol (SBFO), pro  $\text{K}^+$  např. draslík vázající bezofuran izoftalát (PBFI).

Tabulka 2.12 Vybrané fluorescenční indikátory  $\text{Ca}^{2+}$

$\text{Ca}^{2+}$ indikátor	excitace $\lambda_F(\lambda_B)$ (nm)	emise $\lambda_F(\lambda_B)$ (nm)	způsob měření	disociační konstanta (nmol/l)
<b>Fura-2</b>	362(335)	518(510)	Ex 340/380	145
<b>Fura-5F</b>			Ex 340/380	400
<b>Fura-6F</b>			Ex 340/380	5300
<b>Fura-FF</b>			Ex 340/380	5500
<b>Indo-1</b>	349(331)	482(398)	Em 405/485	230
<b>Indo-5F</b>			Em 405/485	470
<b>Fluo-3</b>	504	526	Em 525	390
<b>Fluo-4</b>			Em 520	345
<b>Fluo-5F</b>			Em 520	2300
<b>Fluo-5N</b>			Em 520	90000
<b>Quin-2</b>	356(336)	500(503)	Em 495	60
<b>Rhod-2</b>	550	581	Em 580	570
<b>Rhod-FF</b>			Em 580	19000
<b>Rhod-5N</b>			Em 580	320000
<b>Oregon Green BAPTA-1</b>	494	523	Em 520	170
<b>Oregon Green BAPTA-2</b>	494	523	Em 520	580
<b>Oregon Green BAPTA-6F</b>			Em 520	3000
<b>Oregon Green BAPTA-5N</b>	494	521	Em 520	20000
<b>Calcium Green-1</b>	506	534	Em 530	190
<b>Calcium Green-2</b>	506	536	Em 535	550
<b>Calcium Green-5N</b>	506	536	Em 530	14000



$\lambda_F$  – vlnová délka pro volnou formu sondy,  $\lambda_B$  – vlnová délky pro vázanou formu sondy; Ex – značí měření při uvedené vlnové délce excitace, Em – značí měření při uvedené vlnové délce emise, dvojice čísel oddělená lomítkem značí poměrné měření při dvou různých vlnových délkách  
(Podle: 1. Handbook of Fluorescent Probes and Research Products; 2. Lakowicz 1999.)

### 2.3.6. Indikátory pH

Fluorescenční sondy citlivé na pH umožňují měření pH **uvnitř** buněk s velkou citlivostí. Nitrobuněčné pH je obecně v cytosolu mezi 6,8 a 7,4 a v kyselých organelách mezi 4,5 a 6,0. Je tedy potřeba měřit změny pH v oblasti desetin jednotek pH. Hlavní skupiny indikátorů pH jsou uvedeny v Tabulce 2.13. Příklad měření se sondou SNARF-5F je popsán v kapitole 3.8.

Tabulka 2.13 Fluorescenční indikátory pH

fluorofor	rozsah pH	způsob měření
<b>SNAFL indikátory</b>	7,2-8,2	Ex 490/540 nebo Em 540/630
<b>SNARF indikátory</b>	6,0-8,0	Em 580/640
<b>HPTS (pyranin)</b>	7,0-8,0	Ex 450/405
<b>BCECF</b>	6,5-7,5	Ex 490/440
<b>Fluoresceiny a karboxyfluoresceiny</b>	6,0-7,2	Ex 490/450
<b>LysoSensor Green DND-189</b>	4,5-6,0	Em 520
<b>Oregon Green indikátory</b>	4,2-5,7	Ex 510/450 nebo Ex 490/440
<b>LysoSensor Yellow/Blue DND-160</b>	3,5-6,0	Em 450/510

Ex – značí měření při uvedené vlnové délce excitace, Em – značí měření při uvedené vlnové délce emise, dvojice čísel oddělená lomítkem značí poměrné měření při dvou různých vlnových délkách  
(Podle: Handbook of Fluorescent Probes and Research Products.)

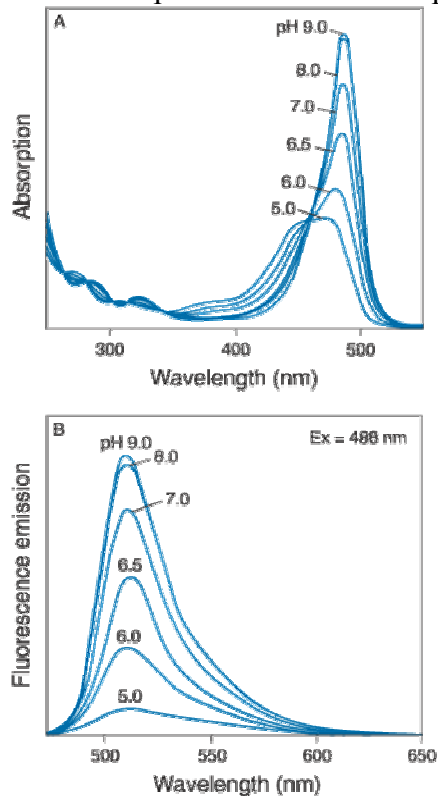
**Fluorescein** byl použit jako jeden z prvních indikátorů pH, především pro měření nitrobuněčných hodnot. Protože fluorescein se poměrně snadno z buněk uvolňuje jsou často používány jeho vysoce nabitě deriváty, jako **5(6)-karboxyfluorescein** nebo **2',7'-bis-(2-karboxyetyl)-5-(a 6)-karboxyfluorescein (BCECF)**. Do živých buněk se tyto sondy snadno dostávají jako acetoxymetylové (AM) nebo acetátové estery.

Fluorescein samotný je středně vhodná sonda. Poměr intenzit fluorescence změřené při dvou excitačních vlnových délkách ( $\lambda_1=450$  nm,  $\lambda_2=495$  nm) se zvyšuje se zvyšujícím se pH. Nevýhodou fluoresceinu je skutečnost, že jeho  $pK_a$  je kolem 6,5, tedy mimo optimální rozsah běžných fyziologických pH.

Jako sonda pro poměrné měření fluorescence při dvou různých vlnových excitačních vlnových délkách je vhodnější sonda **8-hydroxypyren-1,3,6-trisulfonát (HPTS; pyranin)**, kdy se měří poměr intenzit fluorescence při buzení  $\lambda_1=420$  nm a  $\lambda_2=450$  nm. Zdánlivá  $pK_a$  této sondy je kolem 7,5.

Novější skupinou pH sond jsou **seminaftofluoresceiny (SNAFL)** a **seminaftorhodafuory (SNARF)**. Vyznačují se tím, že mají velký posuv jak v absorpčním, tak v emisním spektru a mohou být tedy použity pro poměrná měření jak pro dvojici excitačních, tak pro dvojici emisních vlnových délek.

Obr. 2.6 Absorpční a fluorescenční spektra fluoresceinu při různých hodnotách pH



(Podle: Handbook of Fluorescent Probes and Research Products.)

### 2.3.7. Membránový potenciál

V důsledku nerovnoměrného rozdělení iontů, především  $\text{Na}^+$ ,  $\text{K}^+$  a  $\text{Cl}^-$  mají buněčné plazmatické membrány transmembránový potenciál kolem -70 mV (negativní uvnitř buňky). Depolarizace a hyperpolarizace membrán má klíčovou úlohu v řadě buněčných procesů, především v přenosu nervového signálu. **Potenciometrické sondy** umožňují měřit membránový potenciál i v organelách a buňkách, které jsou příliš malé pro zavedení mikroelektrod.

Potenciometrické sondy lze rozdělit do dvou skupin:

1. **Sondy s rychlou odezvou:** vlivem změny okolního elektrického pole dochází ke změnám intramolekulární distribuce jejich náboje, což se projeví v rychlé změně jejich fluorescenčních parametrů (spektra nebo intenzity) - velikost této změny je často malá (2-10% na 100 mV). Jsou dostatečně rychlé pro měření potenciálových změn v excitovatelných buňkách.
2. **Sondy s pomalou odezvou:** jsou to lipofilní aniony nebo kationy, které se přemísťují přes membránu elektroforetickým mechanismem a vykazují potenciálově závislé změny ve své transmembránové distribuci, která je provázána fluorescenčními změnami – velikost změny je typicky 1% na 1 mV. Patří sem kationtové karbocyaniny a rhodaminy a aniontové oxonoly. Jsou vhodné na měření změn průměrného membránového potenciálu neexcitovatelných buněk, způsobených respirační aktivitou, propustností iontových kanálů, vazbou léčiv a jinými faktory.

Tabulka 2.14 Potenciometrické fluorescenční sondy

sonda	struktura	odezva	použití
<b>Di-4-ANEPPS</b> <b>Di-8-ANEPPS</b> <b>Di-2-ANEPEQ</b> <b>Di-8-ANEPPQ</b> <b>Di-12-ANEPPQ</b>	styryl	rychlá; Ex 440/505 se snižuje při hyperpolarizaci membrány	<ul style="list-style-type: none"> <li>mapování membránového potenciálu podél neuronů a svalových vláken</li> <li>kombinace potenciometrických a <math>Ca^{2+}</math> nebo elektrofyziologických měření</li> <li>detekce změn membránového potenciálu v odezvě na farmaceutický stimul</li> </ul>
<b>RH 237</b> <b>RH 414</b> <b>RH 421</b> <b>RH 795</b>	styryl	rychlá; fluorescence se snižuje při hyperpolarizaci membrány	<ul style="list-style-type: none"> <li>zobrazování membránových potenciálů</li> <li>funkční sledování neuronů</li> <li>detekce synaptické aktivity</li> </ul>
<b>RH 155</b>	hybrid oxonol	rychlá; mění se absorbance při cca 720 nm	<ul style="list-style-type: none"> <li>neurony bezobratlých</li> <li>membránové potenciály v svalové a nervové tkáni</li> <li>napěťově řízené <math>Ca^{2+}</math> kanály</li> </ul>
<b>DiOC<sub>2</sub>(3)</b> <b>DiOC<sub>5</sub>(3)</b> <b>DiOC<sub>6</sub>(3)</b> <b>DiSC<sub>3</sub>(5)</b> <b>DiIC<sub>1</sub>(5)</b>	karbocyanin	pomalá; fluorescenční odezva na depolarizaci závisí na koncentraci a detekční metodě	<ul style="list-style-type: none"> <li>kalciové kanály</li> <li>aktivita mitochondrií</li> <li>neurony a mozková tkáň</li> <li>průtoková cytometrie</li> <li>membránový potenciál v kvasinkách</li> </ul>
<b>JC-1</b> <b>JC-9</b>	karbocyanin	pomalá; Em 585/520 se zvyšuje při hyperpolarizaci membrány	<ul style="list-style-type: none"> <li>apoptická mitochondriální depolarizace</li> <li><math>Ca^{2+}</math> regulace mitochondriemi</li> <li>mitochondriální odezva na glutamátovou excitotoxicitu</li> </ul>
<b>Tetrametylrhodamin metyl a etyl estery</b>	rhodamin	pomalá	<ul style="list-style-type: none"> <li>membránový potenciál v mitochondriích</li> <li><math>Ca^{2+}</math> regulace mitochondriemi</li> </ul>
<b>Oxonol V</b> <b>Oxonol VI</b>	oxonol	pomalá; fluorescence se snižuje při hyperpolarizaci membrány	<ul style="list-style-type: none"> <li>rostlinná fyziologie</li> <li>iontové kanály a elektrogenní pumpy</li> <li>liposomy</li> </ul>
<b>DiBAC<sub>4</sub>(3)</b> <b>B-24570</b> <b>DiBAC<sub>2</sub>(5)</b> <b>DiSBAC<sub>2</sub>(3)</b>	oxonol	pomalá; fluorescence se snižuje při hyperpolarizaci membrány	<ul style="list-style-type: none"> <li>kalcium a membránový potenciál</li> <li>životnost buněk průtokovou cytometrií</li> <li>konfokální mikroskopie</li> </ul>
<b>Merocyanin 540</b>	merocyanin	rychlá/pomalá (dvoufázová odezva)	<ul style="list-style-type: none"> <li>membránový potenciál v mitochondriích a svalech</li> <li>membránový povrch</li> <li>asymetrie membránových lipidů</li> <li>fotodynamická terapie</li> </ul>

Ex – značí měření při uvedené vlnové délce excitace, Em – značí měření při uvedené vlnové délce emise, dvojice čísel oddělená lomítkem značí poměrné měření při dvou různých vlnových délkách (Podle: Handbook of Fluorescent Probes and Research Products.)

### 2.3.8. Dynamika a uspořádání buněčných membrán

Biologické membrány jsou heterogenní systémy charakterizované přítomností fyzikálních rozdílností a topologicky nepravidelných lipidových a proteinových domén. Není proto možné úplně analyticky popsat distribuci a pohyb jejich molekul a makromolekul. Vychází se vždy z určitých modelů a přibližných vztahů, jejichž parametry lze experimentálně určit. Laterální pohyblivost molekul v rovině membrány je charakterizována **laterálním difúzním koeficientem**, pro rychlost reorientace určitých molekul v membráně se používají **parametry pořádku a rotační korelační časy** nebo **rotační difúzní koeficient**. Pomocí fluorescenční spektroskopie lze tyto parametry měřit za použití vhodných sond a časově rozlišené fluorescence (viz kap. 1.3). Nicméně i při měření **anizotropie fluorescence** za použití metody ustálené fluorescence, která je v současné době dostupnější, lze získat určité informace o relativních změnách dynamiky a uspořádání membránových složek. Používají se membránové fluorescenční sondy popsané v kap. 2.2.2. Konkrétní příklady této aplikace jsou uvedeny v kapitolách 3.10.2 a 3.10.3.

#### Parametry pro popis dynamických vlastností membrán, jako izotropních systémů

V prvním přiblížení se lze dívat na vnitřek lipidové dvojvrstvy biologické membrány jako na homogenní neasociovanou izotropní nestlačitelnou kapalinu, jejíž vlastnosti jsou charakterizovány jedinou konstantou. V analogii s mechanikou kontinua je tato konstanta označována jako **viskozita** nebo **fluidita**, resp. **tekutost**. V případě lipidových dvojvrstev bylo zavedeno označení **mikroviskozita**. Protože viskozitu vnitřního prostředí dvojvrstvy nelze měřit přímo, je experimentálně určován parametr, který je s ní v přímé souvislosti. Je jím obvykle **difúzní konstanta D**, **korelační čas  $\tau_c$**  nebo **relaxační čas  $\sigma$** . Převodní vztah mezi těmito parametry je tento

$$(2.3) \quad D = 1/6\tau_c = 1/2\sigma$$

Difúzní koeficient látky rozpuštěné v nekonečném izotropním kontinuu je určen klasickým Stokesovým-Einsteinovým vztahem

$$(2.4) \quad D = kT/f$$

kde je k – Boltzmannova konstanta, T – absolutní teplota, kT – tepelná energie, f – viskózní tření. Pro kouli o poloměru r je rotační viskózní tření dáno vztahem

$$(2.5) \quad f_r = 8\pi\eta r^3$$

a translační viskózní tření vztahem

$$(2.6) \quad f_t = 6\pi\eta r$$

kde je  $\eta$  - koeficient viskozity. Fluidita je definována jako převrácená hodnota viskozity.

V konečném neizotropním prostředí je viskózní tření odlišné od izotropní kapaliny. Pro difúzi molekul proteinů v lipidové dvojvrstvě bylo zjištěno, že viskózní tření pro rotační pohyb se podstatně neliší od hodnoty pro izotropní prostředí splňující Stokesův-Einsteinův vztah, zatímco translační viskózní tření je podstatně menší, než pro izotropní systém. Translační i rotační difúzi v membránách lze souhrnně popsat pomocí difúzivity. Experimentálně je však často sledován jen jeden typ difúzního pohybu molekul v membráně. Nejčastěji se pro tato měření používají spektroskopické metody (elektronová spinová rezonance, jaderná magnetická rezonance, fluorescence, Ramanův rozptyl). Tyto metody jsou založeny na měření určitého signálu (rezonanční absorpce energie vysokofrekvenčního magnetického pole, fluorescenční nebo rozptýlené záření apod.) molekul, skupin či atomů lokalizovaných v membráně. Tyto zpravodajské skupiny jsou buď membráně vlastní, nebo jsou do ní vneseny (spinové sondy, radionuklidem značené molekuly, fluorescenční sondy a značky, rezonanční značky pro Ramanův rozptyl atd.) a musí splňovat základní podmínky:

1. jsou to částice citlivé na mikrokolii, které po zavedení do určité oblasti systému dávají informace o změnách svého mikrokolii prostřednictvím odpovídajícího detektoru;
2. fyzikální vlastnosti, které umožňují detekovat zpravodajskou skupinu se musí výrazně odlišovat od vlastností sledovaného systému;
3. při zavedení sondy smí dojít jen k malému (lépe žádnému) ovlivnění biologického systému.

Měření ukázala, že rotační pohyb membránových molekul je velmi rychlý a při jeho sledování se pohybujeme v nanosekundovém oboru. Oproti tomu se při detekci translačních pohybů dostáváme až do oboru milisekund. Podle rychlosti sledovaného pohybu je nutno vybrat vhodnou metodu a sondu. Fluorescenční měření postihují oblast  $10^{-7}$ - $10^{-10}$  s, fosforescence  $10^{-3}$ - $10^{-2}$  s, metoda spinových sond  $10^{-7}$ - $10^{-10}$  s, metoda elektronové spinové rezonance s přenosem nasycení prodlužuje škálu do  $10^{-4}$  s. V dalším textu bude vysvětlován význam a možnosti stanovení difúzních koeficientů, korelačních časů a parametrů pořádku pomocí metod fluorescenční spektroskopie.

### **Rotační difúze v izotropním systému**

Měření koeficientu viskozity, resp. mikroviskozity biologických membrán fluorescenčními metodami spočívá obvykle v měření rotační depolarizace fluorescence vhodných molekul (sond) vázaných v membráně. K depolarizaci fluorescence těchto molekul buzených polarizovaným zářením dochází rotací molekul (tepelným Brownovým pohybem) v době mezi absorpcí a emisí. Tato doba je pro každou sondu jiná, pohybuje se však vesměs v oblasti nanosekund, a je jí určen rozsah rychlostí detekovaných jevů v membráně.

Experimenty jsou prováděny dvěma základními způsoby:

1. stacionární metodou (ustálená fluorescence) s kontinuálním buzením a snímáním fluorescence;
2. kinetickou metodou (časově rozlišená fluorescence) s pulzním buzením fluorescence a měřením průběhu jejího dohasínání.

Obvyklé uspořádání těchto experimentů je na Obr. 1.5 v kapitole 1.3, kde jsou také definice základních pojmů, které zde nicméně zopakují:

### **stupeň polarizace**

$$(2.7) \quad p = (I_{\parallel} - I_{\perp}) / (I_{\parallel} + I_{\perp}) = 3r / (2 + r) = (1 - \delta) / (1 + \delta)$$

## anizotropie fluorescence

$$(2.8) \quad r = (I_{\parallel} - I_{\perp}) / (I_{\parallel} + 2 I_{\perp}) = 2 p / (3 - p) = (1 - \delta) / (1 + 2 \delta)$$

## depolarizační faktor

$$(2.9) \quad \delta = I_{\perp} / I_{\parallel}$$

kde  $I_{\parallel}$  a  $I_{\perp}$  jsou složky světelné intenzity rovnoběžné nebo kolmé ke směru polarizace budícího záření.

V kinetické metodě jsou měřeny zvláště dvě křivky dohasínání  $I_{\parallel}(t)$  a  $I_{\perp}(t)$  a anizotropie fluorescence je časově závislá. Pro sférickou molekulu v izotropním prostředí je tato časová závislost popsána jednoduchou exponenciálou

$$(2.10) \quad r(t) = (I_{\parallel}(t) - I_{\perp}(t)) / (I_{\parallel}(t) + 2 I_{\perp}(t)) = r_0 \exp(-t/\tau_r)$$

$$(2.11) \quad I(t) = I_{\parallel}(t) + 2 I_{\perp}(t) = I_0 \exp(-t/\tau)$$

kde je  $r_0$  – limitní hodnota anizotropie při vyloučení tepelného pohybu molekuly,  $I_0$  – počáteční hodnota intenzity fluorescence,  $\tau$  – doba života fluorescence (doba dohasínání),  $\tau_r$  – **rotační korelační čas** ( $\tau_r = 1/6D_r$ ) zavedený pomocí **rotační difúzní konstanty**  $D_r$ , pro kterou v případě sférické částice platí Stokesův-Einsteinův vztah (viz rovnice 2.4 a 2.5)

$$(2.12) \quad D_r = kT/6V\eta$$

kde je  $V$  – objem částice,  $\eta$  – viskozita prostředí,  $k$  – Boltzmannova konstanta ( $=1,380662 \cdot 10^{-23} \text{ J.K}^{-1}$ ),  $T$  – absolutní teplota.

Při určování rotačního korelačního času sférické molekuly v izotropním prostředí z měření ustálené fluorescence lze použít **Perrinovu rovnici**, kterou dostaneme jednoduchým zprůměrováním  $r(t)$  přes čas a intenzitu

$$(2.13) \quad r_0/r = 1 + \tau/\tau_r = 1 + 6D_r\tau = 1 + kT\tau/V\eta = 1 + C(r)T\tau/\eta$$

kde je  $C(r)$  – parametr rotující molekuly, který je slabě závislý na  $r$  a pro nesférické molekuly se musí experimentálně určit. Měřené hodnoty anizotropie ustálené fluorescence  $r$  tedy mohou sloužit ke sledování kvalitativních změn fluidity nejbližšího okolí (kolem 10 nm) fluoreskující molekuly. Vyšší hodnota anizotropie znamená nižší fluiditu a naopak. Závislost  $r$  na  $\eta$  je však nelineární a pouze kolem hodnoty  $r_0/2$  lze dostatečně přesně detekovat změny  $\eta$ . Ve většině případů jsou změny  $C(r)$  a  $\tau$  v závislosti na  $r$  malé a působí proti sobě. Perrinův vztah (2.13) potom lze při konstantní teplotě zjednodušit

$$(2.14) \quad ((r_0/r) - 1)^{-1} = K \cdot \eta$$

kde  $K$  je konstanta. Pro sledování relativních změn mikroviskozity tedy není nezbytné měření dob dohasínání fluorescence, které vyžaduje složitější aparaturu.

Stanovení změn fluidity buněčných membrán na základě měření anizotropie ustálené fluorescence vhodné sondy je pro svou jednoduchost velmi rozšířeno. Problém spočívá v tom, že Perrinův vztah byl odvozen pro sondu v izotropním prostředí, což lipidová dvojvrstva buněčných membrán v žádném případě není. **Pojem fluidity či mikroviskozity buněčných membrán potom ztrácí fyzikální význam a v těchto měřeních se jedná pouze o kvalitativní postižení změn uspořádání mikrookolí sondy a její pohyblivosti v membráně.** Pomocí časově rozlišené fluorescence bylo potvrzeno, že anizotropie fluorescence určená stacionární metodou v sobě obsahuje jak informaci o pohyblivosti membránových molekul, tak informaci o jejich průměrném uspořádání. Kvantitativní zastoupení těchto dvou informací nelze z měření ustálené fluorescence určit.

### Parametry pro popis dynamických vlastností membrán, jako anizotropních systémů

Vztahy uvedené výše platí pouze pro izotropní prostředí a sférickou molekulu sondy. V druhém přiblížení bereme biologické membrány jako částečně anizotropní – tj. pohyb v membráně je omezený a rozlišujeme pohyb v rovině lipidové dvojvrstvy a kolmo k ní. Anizotropie fluorescence  $r(t)$  v tomto kapalně-krytalickém prostředí nedohasíná k nule, jako je tomu u izotropní tekutiny (viz vztah 2.10), ale k určité limitní hodnotě  $r(\infty)$

$$(2.15) \quad r(t) = r(\infty) + (r(0) - r(\infty)) \exp(-t/\tau_r)$$

Hodnota  $r(\infty)$  je vztahována k průměrné orientaci podélné osy molekuly sondy vzhledem k určitému směru (kolmici k rovině membrány). Pro interpretaci  $r(\infty)$  tyčinkovité molekuly membránové sondy 1,6-difenyl-1,3,5-hexatrienu (DPH) byl vytvořen tzv. model kolísání v kuželu a byly zavedeny **parametry orientačního pořádku**. Pro  $r(0)$  i  $r(\infty)$  byly odvozeny obecné vztahy, zde neuváděné. Zatímco počáteční hodnota  $r(0)$  je závislá pouze na úhlu mezi absorpčním a emisním pásem (viz vztahy 1.13, 1.14), limitní hodnota pro dlouhé časy  $r(\infty)$  obsahuje informace o uspořádání lokálního mikrookolí sondy. Z obecných vztahů lze získat výrazy pro speciální případy, např. pro sondu s válcovou symetrií, jako je DPH.

Výrazy pro časovou závislost anizotropie fluorescence  $r(t)$  v anizotropním systému byly získány jen aproximativně, např. pro sondu s válcovou symetrií s momenty přechodu rovnoběžnými s podélnou osou molekuly při použití různých modelů pohybu částice v membráně (difúzního modelu, modelu silných srážek). Obvykle se ale pro  $r(t)$  používá fenomenologický výraz

$$(2.16) \quad r(t) = r(\infty) + (r(0) - r(\infty)) \exp(-t/\tau_a)$$

který často vyhovuje pro krátké časy a kde je  $\tau_a$  – určitý druh korelačního času charakterizující anizotropní rotační pohyb (zdanlivý rotační korelační čas). Zprůměrováním  $r(t)$  přes čas a intenzitu dostaneme výrazy pro anizotropii ustálené fluorescence  $r$  (měřenou při kontinuálním buzení vzorku), kdy jsou hodnoty  $r$  závislé jak na molekulárním uspořádání mikrookolí sondy, tak na jejím molekulárním pohybu.